

**КОНВЕКТИВНАЯ КОЛОНКА НАД ЛИНЕЙНЫМ ПОЖАРОМ
В ПОЛИТРОПИЧЕСКОЙ АТМОСФЕРЕ**

Ю. А. Гостинцев, Л. А. Суханов

(Москва)

В [1, 2] исследованы вопросы аэродинамики среды над пожаром в однородной изотермической атмосфере. Использование такой идеализированной модели, предполагающей постоянство плотности и температуры по высоте окружающей среды, позволило выявить некоторые качественные закономерности формирования восходящей конвективной колонки продуктов над пожаром и ее взаимодействия с полем ветра. Полученные при этом результаты пригодны для малых по сравнению с толщиной тропосферы высот.

Известно, однако [3], что конвективная колонка над интенсивными пожарами может достигать высоты 8—10 км. В этом случае полная аэродинамическая структура движения среды над пожаром в значительной степени зависит от начального распределения температуры и плотности по высоте атмосферы. Падение температуры с удалением от поверхности земли способствует развитию колонки до более высоких слоев, так как подъемная сила, действующая на нагретые продукты, в этом случае больше, чем в изотермической окружающей среде. Увеличение же начальной температуры воздуха с высотой приводит к ухудшению условий образования развитой конвективной колонки. В реальной ситуации предельная высота подъема продуктов над пожаром известной интенсивности определяется характером термической стратификации атмосферы (величиной градиента температуры по высоте, а также наличием уровней инверсий и их мощностью).

В данной работе исследуется стационарная конвективная колонка над линейным пожаром в стратифицированной атмосфере с линейным распределением температуры по высоте (политропическая модель [4]):

$$\bar{T}/T_0 = 1 - \Gamma x_1/T_0, \quad \Gamma = -dT/dx_1, \quad (1)$$

где \bar{T} и T_0 — температура невозмущенной атмосферы и температура на уровне земли; x_1 — вертикальная координата. В этом случае из уравнений состояния $\bar{p} = \bar{\rho} R \bar{T}$ и гидростатики $\partial \bar{p} / \partial x_1 = -\bar{\rho} g$ следуют зависимости

$$\bar{p}/p_0 = (1 - \Gamma x_1/T_0)^{g/(R\Gamma)}, \quad \bar{\rho}/\rho_0 = (1 - \Gamma x_1/T_0)^{g/(R\Gamma) - 1}, \quad (2)$$

определяющие распределения давления и плотности в невозмущенной среде.

Воспользовавшись уравнениями неразрывности, движения и энергии в конвективном приближении для пограничного слоя можно полу-

чить систему уравнений, описывающих турбулентное движение конвективной струи над нагретым линейным источником в стратифицированной по законам (1), (2) атмосфере

$$\begin{aligned} \frac{\partial u_1}{\partial x_1} + \frac{\partial u_2}{\partial x_2} &= \frac{\varepsilon}{F} u_1, \\ \frac{\partial u_1^2}{\partial x_1} + \frac{\partial}{\partial x_2} (u_2 u_1) &= -\frac{\partial}{\partial x_2} (\overline{u_1' u_2'}) + \frac{\varepsilon}{F} u_1^2 + \frac{g\beta(T-\tilde{T})}{F}, \\ \frac{\partial}{\partial x_1} u_1 (T-\tilde{T}) + \frac{\partial}{\partial x_2} u_2 (T-\tilde{T}) &= -\frac{\partial}{\partial x_2} (\overline{u_2' T'}) + \\ &+ \frac{\varepsilon}{F} u_1 (T-\tilde{T}) - \Gamma_{ад} (1-\tilde{\Gamma}) u_1. \end{aligned} \quad (3)$$

Здесь x_1 и x_2 — вертикальная и горизонтальная координаты; u_1 , u_1' , u_2 , u_2' — осредненные и пульсационные составляющие скорости вдоль x_1 и x_2 ; $\varepsilon = g(1 - (\gamma - 1)\Gamma/\gamma)/(RT_0)$, $F(x_1) = 1 - gx_1\tilde{\Gamma}(\gamma - 1)/(\gamma RT_0)$, $\tilde{\Gamma} = \Gamma/\Gamma_{ад}$, $\Gamma_{ад} = g/c_p$, $\beta = 1/T_0$.

Величина адиабатического градиента температуры $\Gamma_{ад} = g/c_p$ определяет условие устойчивости равновесия атмосферы в отсутствие источника (для земли $\Gamma_{ад} = 0,01$ град/м [4]). Если $\Gamma > \Gamma_{ад}$ ($\tilde{\Gamma} > 1$), то среда неустойчива и в ней существуют спонтанные конвективные потоки. Подобная ситуация не может быть рассмотрена в пределах стационарной теории, поэтому в дальнейшем везде предполагается $\tilde{\Gamma} < 1$. Предельный случай рассматриваемой здесь задачи, когда $\tilde{\Gamma} = 1$ и $\varepsilon = 0$ для источника конечного размера, описан в [5].

Согласно формулам (1), (2), высота атмосферы ограничена величиной $H_\infty = T_0/\Gamma$ ($H_\infty \rightarrow \infty$ при $\Gamma \rightarrow 0$ для изотермической модели и $H_\infty \sim 50$ км для потенциальной модели, когда $\Gamma = \Gamma_{ад}$ [3]). Максимальные зафиксированные высоты развития конвективных колонок над большими пожарами составляют 8—10 км [3, 6], что существенно меньше H_∞ , поэтому можно считать политропическую модель атмосферы пригодной для описания движения среды в этом случае. Проинтегрируем систему (3) поперек струи от 0 до ∞ (из-за симметрии рассматривается только правая половина плоскости $\{x_1, x_2\}$). С учетом граничных условий получим

$$\begin{aligned} \frac{d}{dx_1} \int_0^\infty u_1 dx_2 &= \frac{\varepsilon}{F} \int_0^\infty u_1 dx_2 - u_2(\infty), \\ \frac{d}{dx_1} \int_0^\infty u_1^2 dx_2 &= \frac{\varepsilon}{F} \int_0^\infty u_1^2 dx_2 + \frac{g\beta}{F} \int_0^\infty (T-\tilde{T}) dx_2, \\ \frac{d}{dx_1} \int_0^\infty u_1 (T-\tilde{T}) dx_2 &= \frac{\varepsilon}{F} \int_0^\infty u_1 (T-\tilde{T}) dx_2 - \Gamma_{ад} (1-\tilde{\Gamma}) \int_0^\infty u_1 dx_2. \end{aligned} \quad (4)$$

Будем искать решение (4) среди функций вида

$$u_1 = U(x_1) \exp(-x_2^2/\Delta_1^2), \quad (T-\tilde{T}) = T(x_1) \exp(-x_2^2/\Delta_2^2) \quad (5)$$

в предположении, что $\Delta_2 = k\Delta_1$, $k = \text{const}$ и $u_2(\infty, x_1) = -Au_1(0, x_1)$, $A = \text{const}$ [4]. Тогда из (4) и (5) имеем

$$\begin{aligned} d/dx_1 \cdot [U(x_1)\Delta_1(x_1)] &= U\Delta_1\varepsilon/F + \alpha U, \\ d/dx_1 \cdot (U^2\Delta_1) &= U^2\Delta_1\varepsilon/F + T\Delta_1 n g\beta/F, \\ d/dx_1 (U\Delta_1 T) &= U\Delta_1 T\varepsilon/F + \Gamma_{ад} (1-\tilde{\Gamma}) U\Delta_1 (\sqrt{n^2+2})/n, \end{aligned} \quad (6)$$

$$\alpha = 2A/\sqrt{\pi}, \quad n = \sqrt{2}k.$$

Перепишем (6) в безразмерном виде, более удобном для анализа

$$\begin{aligned} s \cdot (1-t)/2 \cdot d\varphi^2/dt &= (1-s)\varphi^2 + (1-t)\psi, \\ s \cdot (1-t)/2 \cdot d\psi^2/dt &= (1-s)\psi^2 + q\varphi, \\ s(1-t) \cdot dq/dt &= (1-s)q - E(1-t)\varphi[(\gamma-1)/\gamma-s]. \end{aligned} \quad (7)$$

Здесь $s = \tilde{\Gamma}(\gamma-1)/\gamma$; $t = s\xi$; $\xi = gx_1/RT_0$; $\varphi = \tilde{U}\tilde{\Delta}$; $\psi = \tilde{U}^2\tilde{\Delta}$; $q = \tilde{U}\tilde{\Delta}\vartheta$; $\tilde{U} = U(ng\beta q_0/\alpha)^{-1/3}$; $\tilde{\Delta} = \Delta_1 g(\alpha RT_0)^{-1}$; $\vartheta = (T - \tilde{T})(\alpha^2 ng\beta/q_0^2)^{1/3} RT_0/g$; $E = \Gamma_{ад}(RT_0/g)^2 (\alpha^2 ng\beta/q_0^2)^{1/3} \gamma(n^2 + 2)^{1/2}/[n(\gamma-1)]$. По физическому смыслу функции φ , ψ и q — безразмерные потоки массы, импульса и тепла в струе; s — безразмерный градиент температуры в атмосфере; E — отношение поперечного потока тепла через боковую поверхность колонки $(RT_0/g)\rho_0 c_p T_0 \alpha U l \sim H_\infty l U_\infty c_p \rho_0 T_0$ ккал/с, переносимого с захватываемым струей воздухом в изотермической атмосфере, к вертикальному потоку тепла $\rho_0 c_p U(T_r - T_0)\Delta_0 l$, генерируемому пожаром в единицу времени (T_r — температура горения; Δ_0 и l — характерная ширина и единичная длина линейного очага).

Получим аналитическое решение (7) при малых t . Для этого представим искомые функции разложениями

$$\varphi = s^{-1}(t + \alpha_2 t^2 + \alpha_3 t^3), \quad \psi = s^{-1}(t + \beta_2 t^2 + \beta_3 t^3), \quad q = 1 + \gamma_1 t + \gamma_2 t^2 + \gamma_3 t^3, \quad (8)$$

где α_i , β_i , γ_i — постоянные, подлежащие определению. При написании (8) использовано следующее обстоятельство: на небольших удалениях от источников ($\xi \rightarrow 0$) влияние структуры атмосферы на аэродинамику конвективной струи несущественно, и поэтому решение (8) должно асимптотически совпадать с решением для струи в изотермической однородной среде, полученным в [1], т. е.

$$\begin{aligned} \lim_{\xi \rightarrow 0} \tilde{U} &= \lim_{\xi \rightarrow 0} \psi/\varphi \rightarrow 1 & U &\rightarrow (ng\beta q_0/\alpha)^{1/3}, \\ \lim_{\xi \rightarrow 0} \tilde{\Delta} &= \lim_{\xi \rightarrow 0} \varphi^2/\psi \rightarrow \xi & \Delta_1 &\rightarrow x_1, \\ \lim_{\xi \rightarrow 0} \vartheta &= \lim_{\xi \rightarrow 0} q/\varphi \rightarrow \xi^{-1} & T &\rightarrow x_1^{-1} (\alpha^2 ng\beta/q_0^2)^{-1/3}. \end{aligned}$$

Выполняя стандартную методику отыскания коэффициентов разложения в (8), удовлетворяющих (7), найдем

$$\begin{aligned} \alpha_2 &= s^{-1}(5/8 - s/2), \quad \beta_2 = s^{-1}(7/8 - s/2), \quad \gamma_1 = (1-s)/s, \\ \gamma_2 &= \{1 - s - [(\gamma-1)/\gamma-s]E\} (2s^2)^{-1}, \\ \alpha_3 &= \{103/32 - 5s^2/2 - [(\gamma-1)/\gamma-s]E/2\} (15s^2)^{-1}, \\ \beta_3 &= \{187/32 - s^2/2 - 2E[(\gamma-1)/\gamma-s]\} (15s^2)^{-1}, \\ \gamma_3 &= \{1 - s^2 - E[(\gamma-1)/\gamma-s]\} (9/4 - 2s) \{6s^3\}^{-1}. \end{aligned} \quad (9)$$

Безразмерные выражения для вертикальной скорости газа \tilde{U} , эффективной толщины струи $\tilde{\Delta}$ и избыточной температуры ϑ имеют вид

$$\begin{aligned} \tilde{U} &= 1 + (\beta_2 - \alpha_2)t + (\alpha_2^2 + \beta_3 - \alpha_3 + \alpha_2\beta_2)t^2 + \\ &\quad + (\alpha_2^2\beta_2 + 2\alpha_2\alpha_3 - \alpha_2^3 - \alpha_2\beta_3 - \alpha_3\beta_2)t^3, \\ \tilde{\Delta} &= ts^{-1}\{1 + (2\alpha_2 - \beta_2)t + (\alpha_2^2 + \beta_2^2 - 2\alpha_2\beta_2 - \beta_3 + 2\alpha_3)t^2\}, \\ \vartheta &= st^{-1}\{1 + (\gamma_1 - \alpha_2)t + (\gamma_2 - \alpha_3 + \alpha_2^2 - \alpha_2\gamma_1)t^2 + \\ &\quad + (2\alpha_2\alpha_3 - \alpha_2^3 + \alpha_2^2\gamma_1 - \gamma_1\alpha_3 - \gamma_1\alpha_2 + \gamma_3)t^3\}. \end{aligned} \quad (10)$$

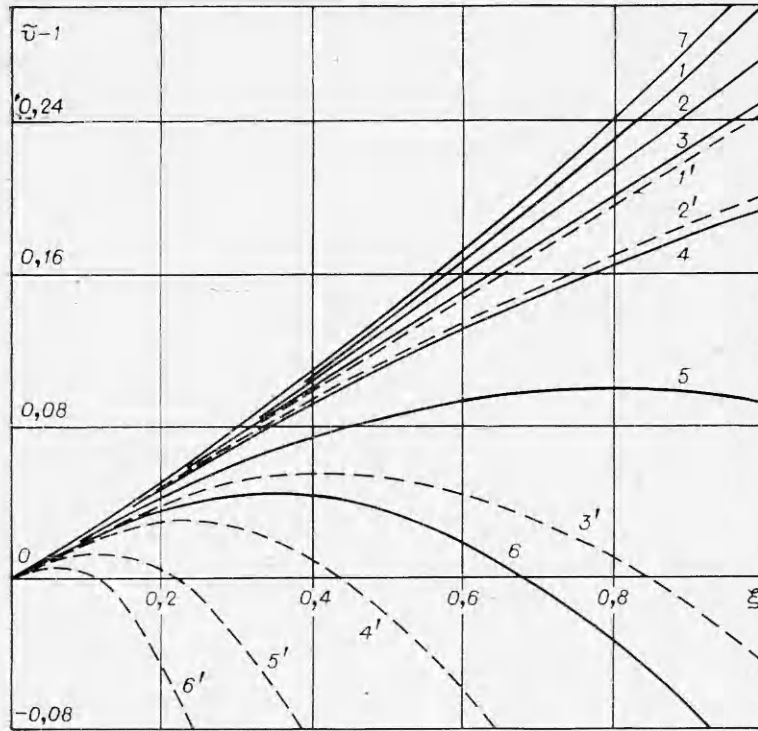


Рис. 1. Зависимость $\tilde{U}(\xi)$ для политропической атмосферы.
 1-6 — $E=0$; 2,85; 5,70; 12; 24; 48; 1'-6' — $E=0$; 1,0; 6,0; 12; 24; 48; 7 — $s = (\gamma-1)/\gamma$.

Вводя понятие функции тока, из уравнения неразрывности можно получить

$$\tilde{u} = (1-s\xi)^{(s-1)/s} \partial \tilde{\Psi} / \partial \xi, \quad \tilde{v} = -(1-s\xi)^{(s-1)/s} \partial \tilde{\Psi} / \partial \xi,$$

где $\tilde{v} = v (ng\beta\alpha^2 q_0)^{-1/3}$, $\xi = gx_2 / (\alpha RT_0)$ — поперечная скорость и координата; $\tilde{\Psi} = \Psi g (ng\beta\alpha^2 q_0)^{-1/3} / (RT_0)$ — безразмерная функция тока. Отсюда с учетом (5) и (10) следует

$$\begin{aligned} \tilde{\Psi} &= \sqrt{\pi}/2 \tilde{U}(\xi) \tilde{\Delta}(\xi) (1-s\xi)^{(1-s)/s} \operatorname{erf}(\xi/\tilde{\Delta}), \\ \tilde{v} &= -\sqrt{\pi}/2 \tilde{U} \operatorname{erf}(\xi/\tilde{\Delta}) + \xi \tilde{\Delta}^{-1} \tilde{U}' \exp(-\xi^2/\tilde{\Delta}^2) d\tilde{\Delta}/d\xi. \end{aligned} \quad (11)$$

Качественный анализ полученных решений показывает, что аэродинамика конвективной струи над линейным пожаром в политропической атмосфере определяется соотношением между двумя безразмерными параметрами: s , определяющим термическую стратификацию окружающей среды, и E , характеризующим запас энергии в источнике. При $(\gamma-1)/\gamma \geq s > 0$ имеет место падение температуры атмосферы с удалением от поверхности земли, способствующее развитию конвективной колонки до больших высот; при $s=0$ среда изотермическая, но неоднородная ($\rho = \rho_0 \exp(-gx_1/RT_0)$); при $s < 0$ рост температуры воздуха с высотой препятствует подъему нагретого источником газа. Величина $E \sim Q^{-2/3}$ ($Q = c_p \rho_0 q_0$ ккал/(м·с) — тепловая мощность линейного источника) уменьшается с повышением интенсивности пожара.

Проиллюстрируем графически влияние s и E на характеристики конвективной колонки. На рис. 1 представлена зависимость безразмерной скорости газа вдоль оси струи от высоты подъема для различных интен-

сивностей источника в стратифицированной атмосфере с $s = 0,2$ (сплошные линии) и $s = -0,2$ (штриховые линии). Линия 7 изображает максимально возможную скорость подъема газа в конвективной колонке в среде с адиабатическим градиентом температуры $s = (\gamma - 1)/\gamma$. Такая скорость не зависит от мощности источника. Видно, что увеличение s способствует разгону нагретого газа в восходящей струе до более высоких скоростей. При этом для каждого s существует некоторое критическое значение параметра E_* такого, что при $E < E_*$ скорость на оси струи возрастает вплоть до границы тропосферы ($\xi \sim 1,0$). Зависимость $E_*(s)$ во втором приближении имеет вид

$$E_* = (0,187 + 1,25s + 1,33s^2) \cdot [(\gamma - 1)/\gamma - s]^{-1}. \quad (12)$$

Рис. 2 иллюстрирует изменение полуширины Δ конвективной колонки над линейным пожаром с удалением от источника для $s = 0,2$ (сплошные линии) и $s = -0,2$ (штриховые линии). Чем мощнее очаг пожара, тем тоньше струя. На начальном участке $\Delta \sim \xi$ (как и в случае изотермической однородной среды [1] и не зависит от E). Кривая 6 соответствует границе струи при адиабатическом градиенте температуры в среде (на пределе конвективной устойчивости атмосферы). Видно, что уменьшение s (рост температуры воздуха с высотой) приводит к более быстрому разбуханию восходящей над пожаром колонки продуктов.

На рис. 3 показано изменение безразмерной избыточной температуры ϑ на оси струи с удалением от источника в атмосфере. Видно, что в практически интересном диапазоне изменения величин повышение температуры атмосферы с высотой (уменьшение s) и умень-

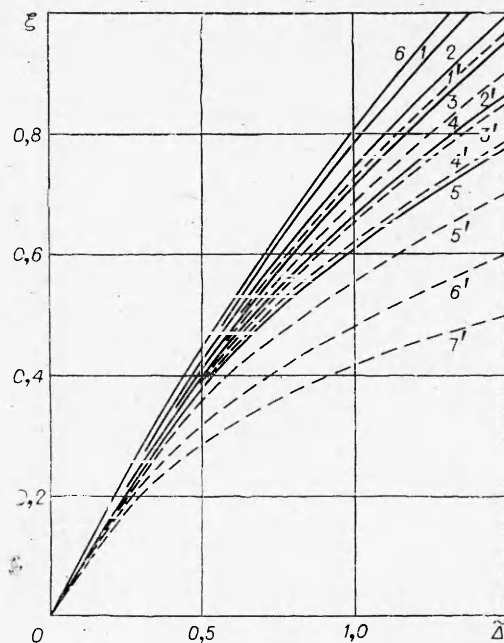


Рис. 2. Зависимость $\Delta(\xi)$ для политропической среды.
1-5 — $E = 0,24; 48; 100; 200; 1'-7' - E = 0,6; 12; 24; 48; 100; 200; 6 - s = (\gamma - 1)/\gamma$.

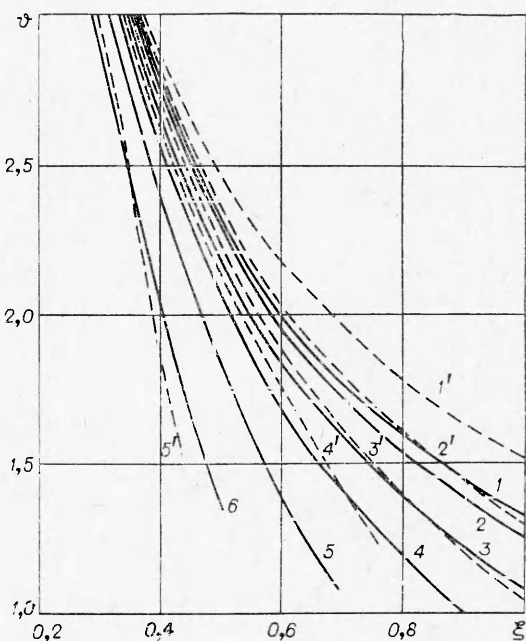


Рис. 3. Зависимость безразмерной избыточной температуры на оси струи от высоты подъема в политропической атмосфере.
1-6 — $E = 0,1; 6; 12; 24; 48; 1'-5' - E = 0,1; 2; 3; 6$.

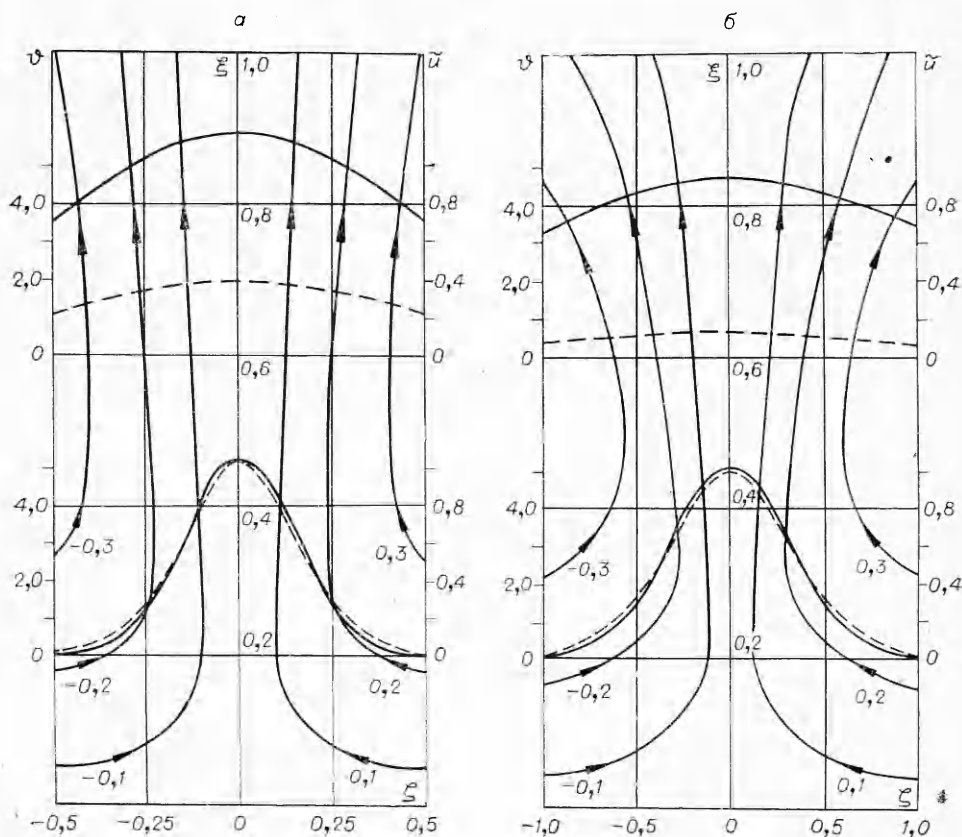


Рис. 4. Распределение линий тока Ψ над линейным источником в потенциальной атмосфере. Для сечений $\xi=0,2$ и $0,6$ приведены профили \tilde{u} (сплошные кривые) и $\tilde{\theta}$ (штриховые кривые).

шение тепловой мощности пожара (увеличение E) приводит к более быстрому падению избыточной температуры в струе.

Рис. 4, а иллюстрирует картину распределения линий тока над линейным пожаром в атмосфере с адиабатическим градиентом температуры $s=(\gamma-1)/\gamma$. Там же даны графики скорости \tilde{u} и температуры $\tilde{\theta}$. На рис. 4, б приведены линии тока и профили \tilde{u} , $\tilde{\theta}$ для конвективной колонки при $s=-0,2$ и $E=12$. Уменьшение s приводит к заметному искривлению линий тока (колонка стремится принять грибовидную форму). Резюмируя, можно утверждать, что уменьшение запаса термической устойчивости политропической атмосферы (уменьшение температуры среды с удалением от поверхности земли) существенно облегчает условия развития больших пожаров.

Поступила в редакцию
8/III 1977

ЛИТЕРАТУРА

1. Ю. А. Гостинцев, Л. А. Суханов. ФГВ 1977, 13, 5.
2. Ю. А. Гостинцев, Л. А. Суханов. ФГВ, 1978, 14, 1.
3. K. Davis, G. Вугам, W. Krumm. Forest Fire: Control and Use. Mc Grow — Hill, N. Y.— Toronto — London. 1959.
4. Н. Е. Кочин. Собрание сочинений. Т. 1. Изд-во АН СССР, 1949.
5. M. Murgai, H. Emmons. Fluid-Mech. 8, 4, 1960.
6. H. Anderson. Sundance Fire: An Analysis of Fire Phenomena. U. S. D. A. Forest Service Research Paper. INT — 56, 1968.